

ΥΠΟΛΟΓΙΣΤΙΚΗ ΡΕΥΣΤΟΜΗΧΑΝΙΚΗ

ΑΣΚΗΣΗ Α

ΕΠΙΛΥΣΗ ΠΕΔΙΟΥ ΡΟΗΣ ΓΥΡΩ ΑΠΟ ΕΛΛΕΙΨΗ
ΜΕ ΤΗ ΜΕΘΟΔΟ ΤΩΝ ΙΔΙΟΜΟΡΦΩΝ ΣΗΜΕΙΩΝ
ΕΦΑΡΜΟΓΗ ΜΕΘΟΔΟΥ GAUSS - JORDAN

ΣΤΑΔΙΑ ΕΠΙΛΥΣΗΣ ΠΡΟΒΛΗΜΑΤΟΣ ΣΤΗΝ ΥΠΟΛΟΓΙΣΤΙΚΗ ΡΕΥΣΤΟΜΗΧΑΝΙΚΗ

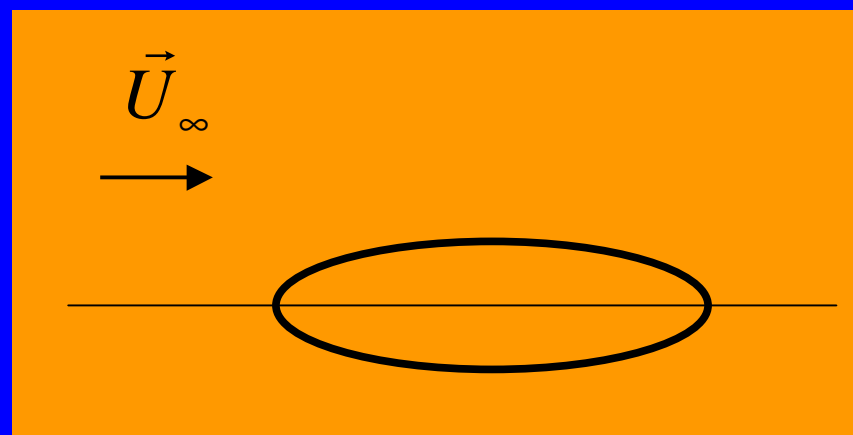
- 1. ΛΕΚΤΙΚΗ ΠΕΡΙΓΡΑΦΗ ΠΡΟΒΛΗΜΑΤΟΣ**
- 2. ΜΑΘΗΜΑΤΙΚΗ ΤΟΠΟΘΕΤΗΣΗ ΠΡΟΒΛΗΜΑΤΟΣ - ΟΡ. ΣΥΝΘ.**
- 3. ΑΔΙΑΣΤΑΤΟΠΟΙΗΣΗ**
- 4. ΔΙΑΚΡΙΤΟΠΟΙΗΣΗ**
- 5. ΛΟΓΙΚΟ ΔΙΑΓΡΑΜΜΑ ΕΠΙΛΥΣΗΣ**
- 6. ΑΛΓΟΡΙΘΜΟΣ FORTRAN**
- 7. ΑΠΟΤΕΛΕΣΜΑΤΑ - ΓΡΑΦΗΜΑΤΑ**
- 8. ΑΝΕΞΑΡΤΗΣΙΑ ΛΥΣΗΣ ΑΠΟ ΑΡΙΘΜΗΤΙΚΕΣ ΠΑΡΑΜΕΤΡΟΥΣ**
- 9. ΠΑΡΑΜΕΤΡΙΚΗ ΔΙΕΡΕΥΝΥΣΗ - ΓΡΑΦΗΜΑΤΑ**
- 10. ΑΞΙΟΛΟΓΙΣΗ ΑΠΟΤΕΛΕΣΜΑΤΩΝ - ΣΥΜΠΕΡΑΣΜΑΤΑ**

1. ΠΕΡΙΓΡΑΦΗ ΠΡΟΒΛΗΜΑΤΟΣ

Υπολογισμός πεδίου ταχυτήτων στην επιφάνεια έλλειψης που βρίσκεται σε ροή παράλληλη ως προς τον άξονα της.

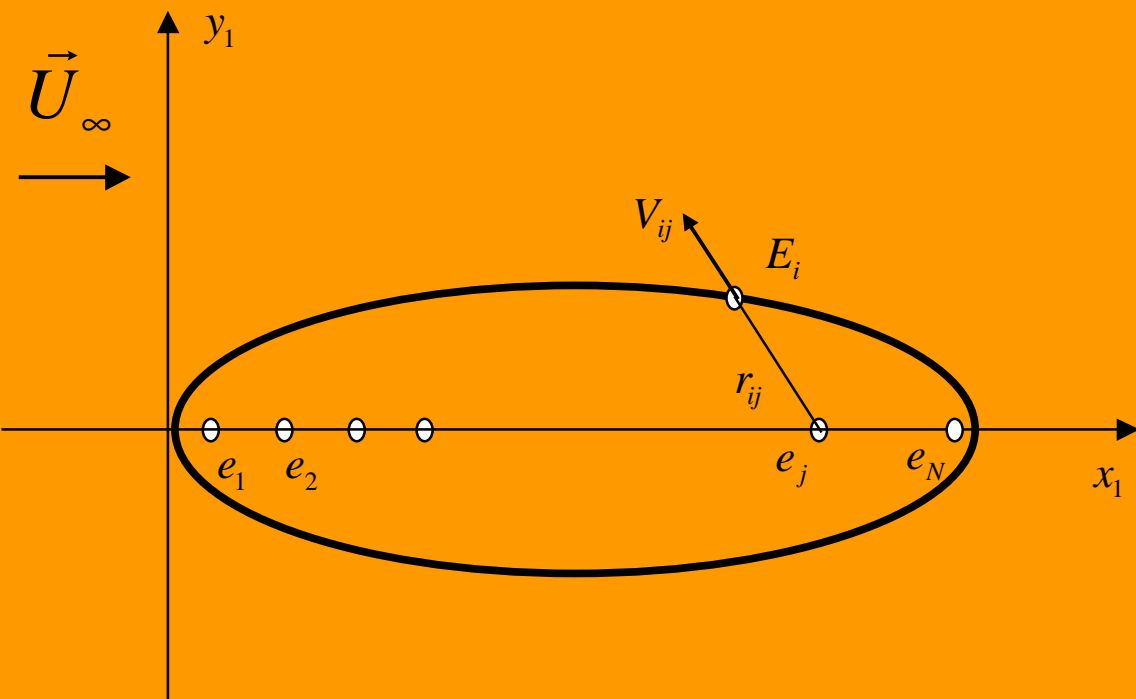
ΠΑΡΑΔΟΧΕΣ

- 2D
- Ασυμπίεστο ρευστό
- Μη συνεκτική ροή



2α. ΜΑΘΗΜΑΤΙΚΗ ΤΟΠΟΘΕΤΗΣΗ

ΜΕΘΟΔΟΣ ΙΔΙΟΜΟΡΦΩΝ ΣΗΜΕΙΩΝ
ΣΗΜΕΙΑΚΕΣ ΠΗΓΕΣ ΣΤΟΝ ΑΞΟΝΑ ΤΗΣ ΕΛΛΕΙΨΗΣ



$$\frac{(x - a)^2}{a^2} + \frac{y^2}{b^2} = 1$$

$$W_{ij} = \frac{e_j}{2\pi r_{ij}}$$

$$r = \sqrt{(x_i - x_j)^2 + y_i^2}$$

2β. ΜΑΘΗΜΑΤΙΚΗ ΤΟΠΟΘΕΤΗΣΗ

$$u = W_x = W_{ij} \frac{x_i - x_j}{r_{ij}}$$

$$U_i = U_\infty + \sum_{j=1}^N W_{ij} \frac{x_i - x_j}{r_{ij}}$$

$$v = W_y = W_{ij} \frac{y_i}{r_{ij}}$$

$$V_i = \sum_{j=1}^N W_{ij} \frac{y_i}{r_{ij}}$$

2γ. ΜΑΘΗΜΑΤΙΚΗ ΤΟΠΟΘΕΤΗΣΗ - ΟΡΙΑΚΕΣ ΣΥΝΘΗΚΕΣ -

- ΜΗ ΕΙΣΧΩΡΗΣΗΣ $\vec{W}_{ij} \cdot \vec{n}_i = 0 \Rightarrow \frac{U}{V} = \tan \phi_i = \left(\frac{dy}{dx} \right)_i \Rightarrow$

$$\sum_{j=1}^N e_j \left[\frac{y_i}{2\pi r_{ij}^2} - \frac{x_i - x_j}{2\pi r_{ij}^2} \cdot \left(\frac{dy}{dx} \right)_i \right] = U_\infty \cdot \left(\frac{dy}{dx} \right)_i$$

- ΕΙΔΙΚΗ ΜΗ ΕΙΣΧΩΡΗΣΗΣ

$$\frac{dy}{dx} \rightarrow \infty \Rightarrow U_\infty - \sum_{j=1}^N \frac{e_j}{2\pi x_j} = 0$$

- ΔΙΑΤΗΡΗΣΗΣ ΜΑΖΑΣ

$$\sum_{j=1}^N e_j = 0$$

3α. ΑΔΙΑΣΤΑΤΟΠΟΙΗΣΗ

- Μεγέθη αναφοράς
 - Μήκος = $2a$
 - Ταχύτητα = U_∞

$$x^* = \frac{x}{2a} \quad \tau = \frac{b}{a}$$

$$e_j^* = \frac{e_j}{U_\infty \cdot 2a}$$

$$\frac{dy^*}{dx^*} = \frac{-\tau \left(x^* - \frac{1}{2} \right)}{\sqrt{\frac{1}{4} - \left(x^* - \frac{1}{2} \right)^2}}$$

3β. ΑΔΙΑΣΤΑΤΟΠΟΙΗΣΗ

A) ΜΗ ΕΙΣΧΩΡΗΣΗΣ

$$\sum_{j=1}^N e_j^* \left[\frac{y_i^*}{2\pi r_{ij}^{*2}} - \frac{x_i^* - x_j^*}{2\pi r_{ij}^{*2}} \cdot \left(\frac{dy^*}{dx^*} \right)_i \right] = \left(\frac{dy^*}{dx^*} \right)_i$$

**B) ΕΙΔΙΚΗ ΜΗ
ΕΙΣΧΩΡΗΣΗΣ**

$$1 - \sum_{j=1}^N \frac{e_j^*}{2\pi x_j^*} = 0$$

**Γ) ΔΙΑΤΗΡΗΣΗΣ
ΜΑΖΑΣ**

$$\sum_{j=1}^N e_j^* = 0$$

4α. ΔΙΑΚΡΙΤΟΠΟΙΗΣΗ

ΑΓΝΩΣΤΟΙ

- Ν σημειακές πηγές e_j

ΕΞΙΣΩΣΕΙΣ

- A) Μ σημεία ελέγχου E_i
- B) 1 Ειδική συνθ. μη εισχώρησης
- Γ) 1 συνθ. Διατήρησης μάζας

$$\text{ΑΡΙΘΜΟΣ ΑΓΝΩΣΤΩΝ } N = \text{ΑΡΙΘΜΟΣ ΕΞΙΣΩΣΕΩΝ } M+2 \\ M=N-2$$

$$x_i^* = \frac{1}{N+1} i \quad i = 1, \dots, N$$

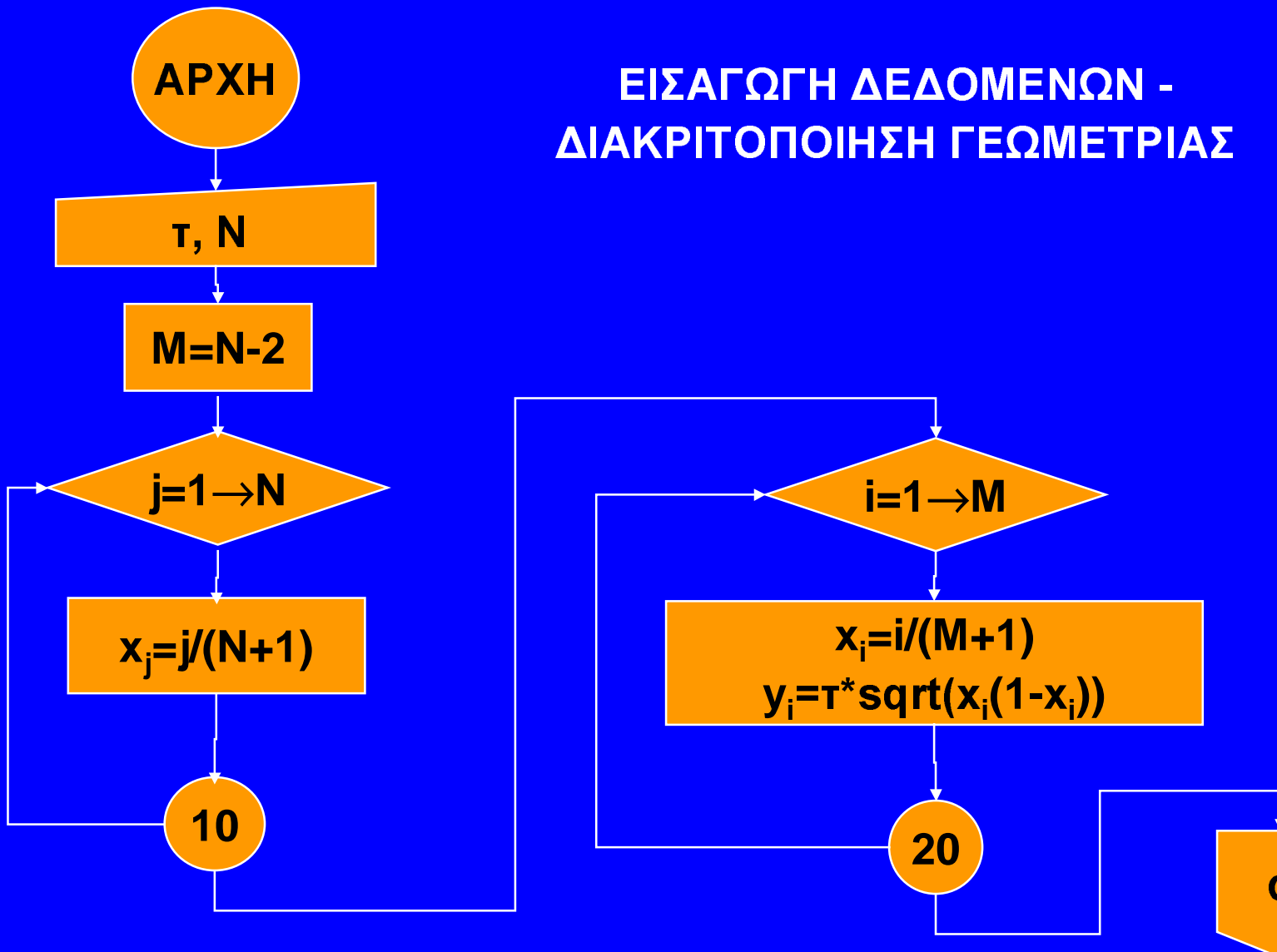
$$x_j^* = \frac{1}{M+1} j \quad j = 1, \dots, M$$

4β. ΔΙΑΚΡΙΤΟΠΟΙΗΣΗ

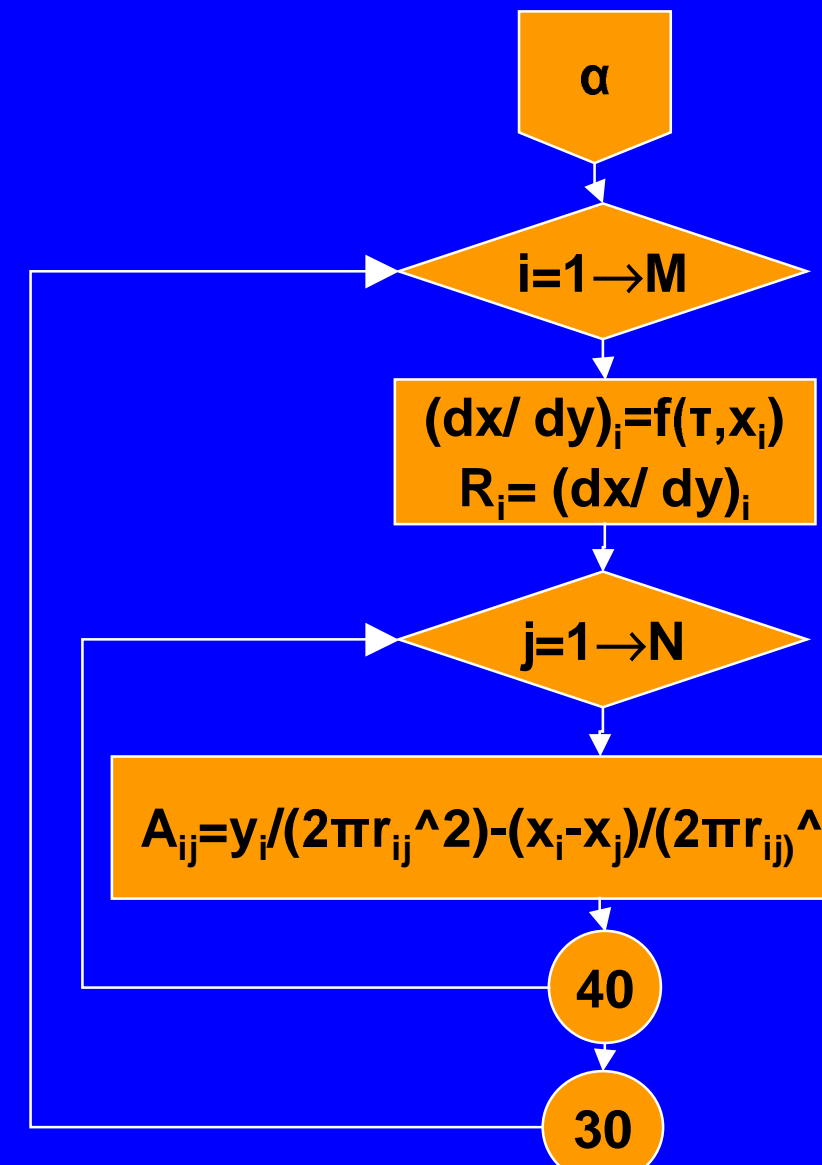
**ΕΠΙΛΥΣΗ ΣΥΣΤΗΜΑΤΟΣ
ΓΡΑΜΜΙΚΩΝ ΕΞΙΣΩΣΕΩΝ NxN ΜΕ ΤΗΝ
ΜΕΘΟΔΟ ΑΠΑΛΟΙΦΗΣ GAUSS - JORDAN**

- ΕΠΙΛΥΣΗ ΤΟΥ $A^*X=R$ ΜΕ ΥΠΟΛΟΓΙΣΜΟ ΤΟΥ A^{-1}**
- 3 ΦΟΡΕΣ ΒΡΑΔΥΤΕΡΗ ΑΠΟ ΤΙΣ ΤΑΧΥΤΕΡΕΣ**
- ΕΥΣΤΑΘΗΣ**
- ΑΜΕΣΗ ΥΠΟΛΟΠΟΙΗΣΗ ΑΛΓΟΡΙΘΜΟΥ**

5α. ΛΟΓΙΚΟ ΔΙΑΓΡΑΜΜΑ ΕΠΙΛΥΣΗΣ

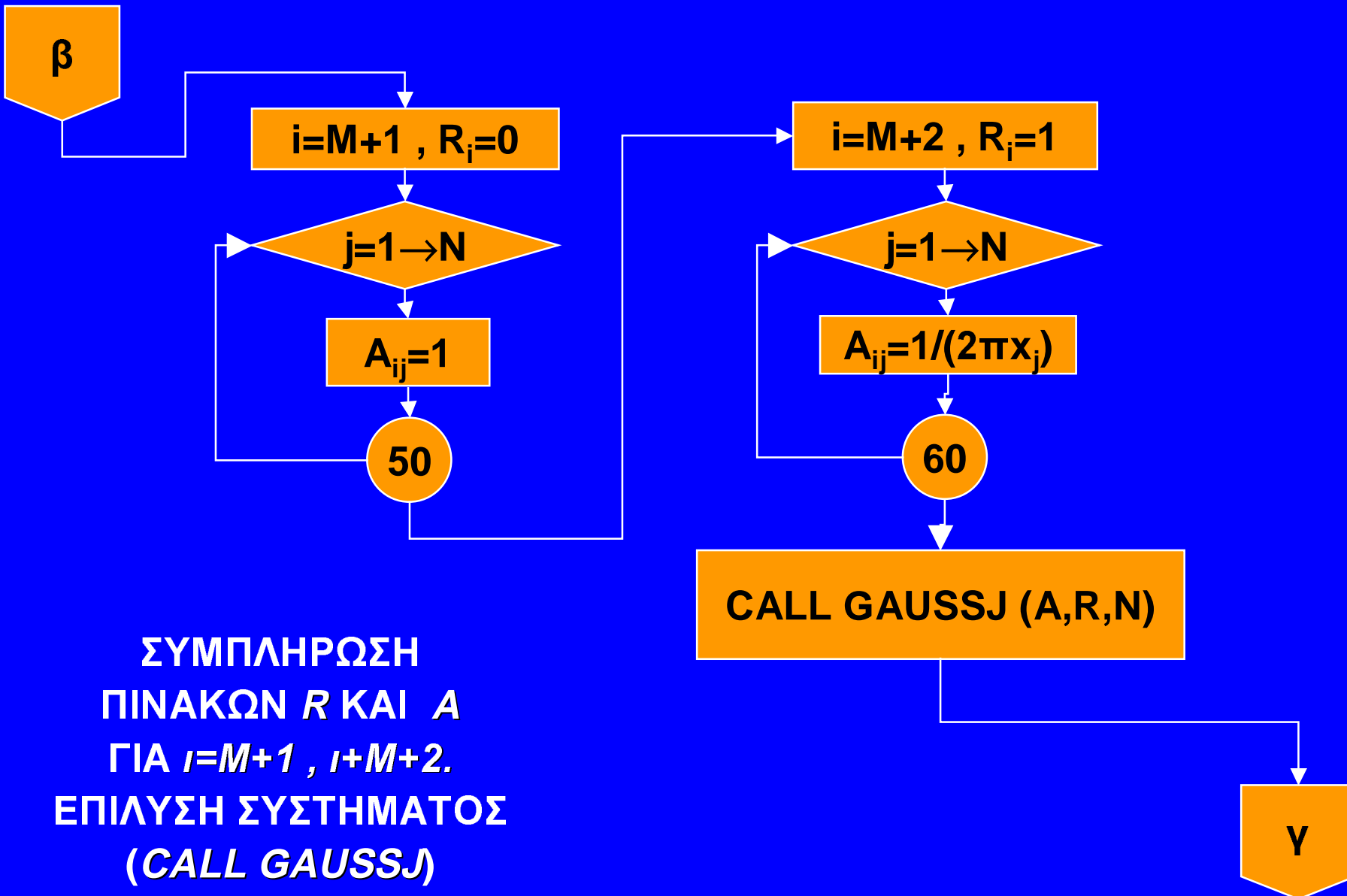


5β. ΛΟΓΙΚΟ ΔΙΑΓΡΑΜΜΑ ΕΠΙΛΥΣΗΣ



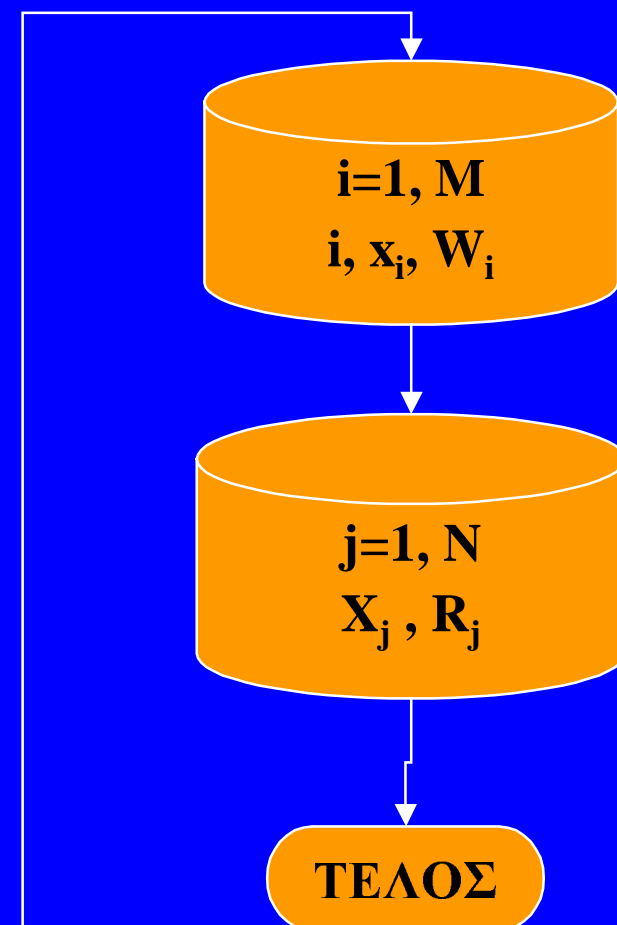
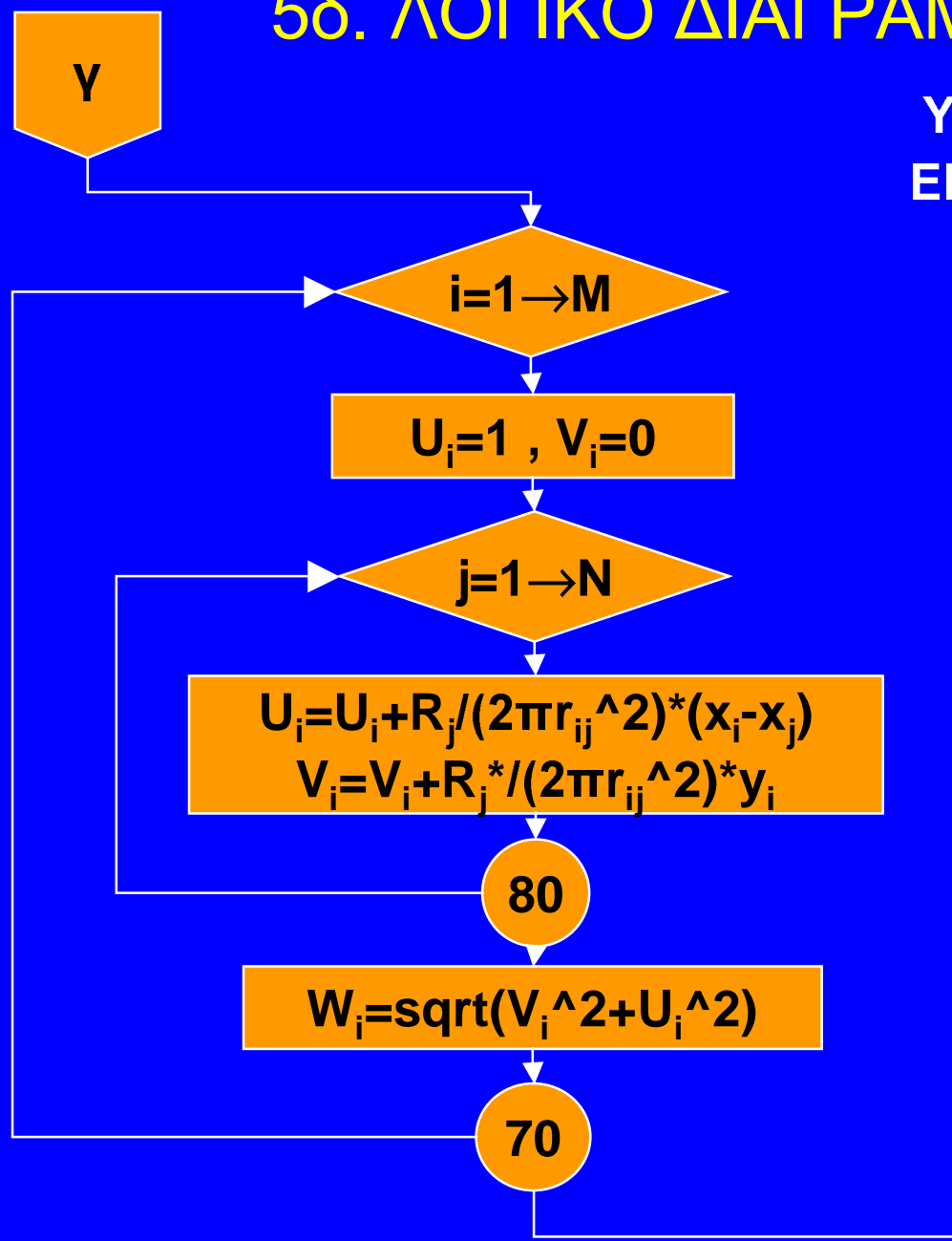
ΣΥΜΠΛΗΡΩΣΗ
ΠΙΝΑΚΑ R (ΓΝΩΣΤΩΝ ΟΡΩΝ) ΚΑΙ
ΠΙΝΑΚΑ A (ΣΥΝΤΕΛΕΣΤΩΝ
ΤΩΝ ΑΓΝΩΣΤΩΝ)
ΓΙΑ ΤΑ M ΣΗΜΕΙΑ ΕΛΕΓΧΟΥ

5γ. ΛΟΓΙΚΟ ΔΙΑΓΡΑΜΜΑ ΕΠΙΛΥΣΗΣ



5δ. ΛΟΓΙΚΟ ΔΙΑΓΡΑΜΜΑ ΕΠΙΛΥΣΗΣ

ΥΠΟΛΟΓΙΣΜΟΣ ΤΑΧΥΤΗΤΩΝ
ΕΓΓΡΑΦΗ ΑΠΟΤΕΛΕΣΜΑΤΩΝ



6α. ΑΛΓΟΡΙΘΜΟΣ FORTRAN

ΚΩΔΙΚΑΣ

- ΔΟΜΗΜΕΝΟΣ
- ΕΚΤΕΝΗ ΣΧΟΛΙΑ (ΛΑΤΙΝΙΚΟ ΑΛΦΑΒΗΤΟ ή ISO 8859)
- ΟΝΟΜΑΤΑ ΜΕΤΑΒΛΗΤΩΝ
- ΕΚΤΕΝΗ ΧΡΗΣΗ ΥΠΟΡΟΥΤΙΝΩΝ
- ΑΠΟΦΥΓΗ ΚΑΘΟΛΙΚΩΝ ΜΕΤΑΒΛΗΤΩΝ
- ΕΥΑΝΑΓΝΩΣΤΗ ΣΥΝΤΑΞΗ - ΤΗΡΗΣΗ ΚΑΝΟΝΩΝ
- ΑΝΕΞΑΡΤΗΣΙΑ ΑΠΟ COMPILER
- F77

6β. ΑΛΓΟΡΙΘΜΟΣ FORTRAN

C

C ΠΡΟΓΡΑΜΜΑ ΕΠΙΛΥΣΗΣ ΡΟΗΣ ΓΥΡΩ ΑΠΟ ΕΛΛΕΙΨΗ ΣΕ ΣΥΜΜΕΤΡΙΚΗ ΡΟΗ
C

PROGRAM ELLISYM

C ΔΗΛΩΣΗ ΟΛΩΝ ΤΩΝ ΜΕΤΑΒΛΗΤΩΝ (ΕΚΤΟΣ ΑΚΕΡΑΙΩΝ) ΔΙΠΛΗΣ ΑΚΡΙΒΕΙΑΣ
IMPLICIT DOUBLE PRECISION (A-H, O-Z)

C ΔΗΛΩΣΗ ΠΙΝΑΚΩΝ

PARAMETER (NM=200)

DIMENSION XJ(NM),XI(NM),YI(NM),A(NM,NM),DYDX(NM)

DIMENSION R(NM,1),U(NM),V(NM),W(NM)

C ΥΠΟΛΟΓΙΣΜΟΣ ΠΙ

PI=4.*DATAN(1.D0)

C ΕΙΣΑΓΩΓΗ ΔΕΔΟΜΕΝΩΝ ΑΠΟ ΤΟ ΠΛΗΚΤΡΟΛΟΓΙΟ

WRITE (*,*) "GIVE T="

READ (*,*) T

WRITE (*,*) "GIVE N="

READ (*,*) N

6γ. ΑΛΓΟΡΙΘΜΟΣ FORTRAN

C ΥΠΟΛΟΓΙΣΜΟΣ ΘΕΣΕΩΝ ΠΗΓΩΝ

```
DO 10 J=1,N  
XJ(J)=DBLE(J)/DBLE(N+1)
```

10 CONTINUE

C ΥΠΟΛΟΓΙΣΜΟΣ ΣΥΝΤ/ΝΩΝ ΣΗΜΕΙΩΝ ΕΛΕΓΧΟΥ

```
M=N-2  
DO 20 I=1,M  
XI(I)=DBLE(I)/DBLE(M+1)  
YI(I)=T*DSQRT(XI(I)*(1.D0-XI(I)))
```

20 CONTINUE

C ΣΥΜΠΛΗΡΩΣΗ ΜΗΤΡΑΣ ΣΥΝΤΕΛΕΣΤΩΝ ΑΓΝΩΣΤΩΝ

```
DO 30 I=1,M  
DYDX(I)=-T*(XI(I)-0.5D0)/DSQRT(0.25D0-(XI(I)-0.5D0)**2)  
R(I,1)=DYDX(I)  
DO 40 J=1,N  
RIJ2=(XI(I)-XJ(J))**2+YI(I)**2  
A(I,J)=YI(I)/(2.D0*PI*RIJ2)-  
& (XI(I)-XJ(J))/(2.D0*PI*RIJ2)*DYDX(I)
```

40 CONTINUE

30 CONTINUE

6δ. ΑΛΓΟΡΙΘΜΟΣ FORTRAN

С ΣΥΝΘΗΚΗ ΔΙΑΤΗΡΗΣΗΣ ΜΑΖΑΣ

```
I=M+1  
R(I,1)=0.D0  
do 50 J=1,N  
A(I,J)=1.D0  
50 CONTINUE
```

С ΕΙΔΙΚΗ ΣΥΝΘΗΚΗ ΜΗ ΕΙΣΧΩΡΗΣΗΣ

```
I=M+2  
R(I,1)=1.D0  
do 60 J=1,N  
A(I,J)=1.D0/(2.D0*PI*XJ(J))  
60 CONTINUE
```

С ΕΠΛΑΥΣΗ ΣΥΣΤΗΜΑΤΟΣ

```
CALL GAUSSJ(A,N,NM,R,1,1)
```

С ΥΠΟΛΟΓΙΣΜΟΣ ΤΑΧΥΤΗΤΩΝ

```
do 70 I=1,M  
U(I)=1.D0  
V(I)=0.D0
```

С

6ε. ΑΛΓΟΡΙΘΜΟΣ FORTRAN

```
do 80 J=1,N
    RIJ2=(XI(I)-XJ(J))**2+YI(I)**2
    U(I)=U(I)+R(J,1)/(2.D0*PI*RIJ2)*(XI(I)-XJ(J))
    V(I)=V(I)+R(J,1)/(2.D0*PI*RIJ2)*YI(I)
80 CONTINUE
W(I)=DSQRT(V(I)**2+U(I)**2)
70 CONTINUE
C ΕΓΓΡΑΦΗ ΑΠΟΤΕΛΕΣΜΑΤΩΝ
OPEN (24,FILE="FLOW.DAT")
do 90 J=1,N
    WRITE (24,*) J,XJ(J),W(J)
90 CONTINUE
C
OPEN (25,FILE="SOUR.DAT")
do 95 I=1,M
    WRITE (25,*) I,R(I,1)
95 CONTINUE
C
```

7. ΑΠΟΤΕΛΕΣΜΑΤΑ - ΓΡΑΦΗΜΑΤΑ

ΑΡΧΕΙΑ ΑΠΟΤΕΛΕΣΜΑΤΩΝ

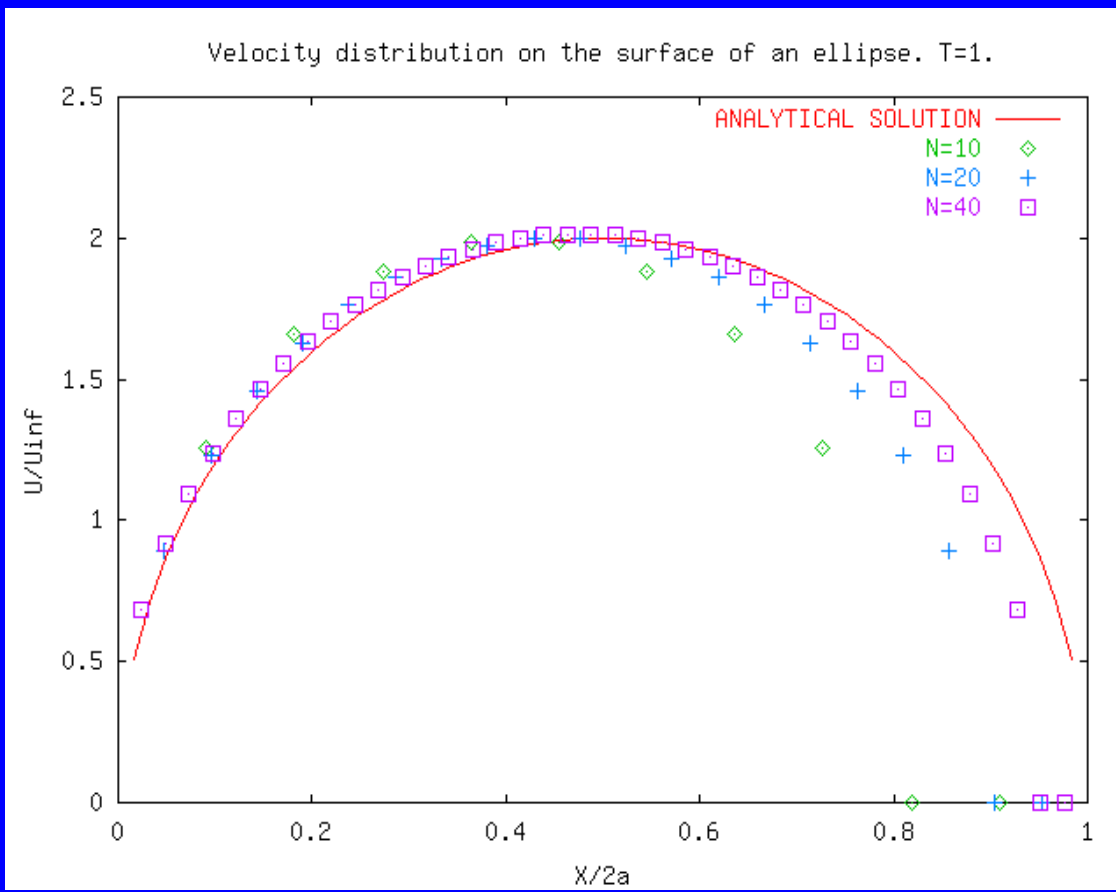
- ASCII
- ΣΤΗΛΕΣ
- ΕΝΤΟΠΙΣΜΕΝΑ ΣΧΟΛΙΑ

ΧΡΗΣΗ ΣΧΕΔΙΑΣΤΙΚΩΝ ΕΦΑΡΜΟΓΩΝ

• EXCEL	2D	WIN
• GRAPHER	2D	DOS / WIN
• SURFER	3D	DOS / WIN
• GNUPLOT	2D / 3D	DOS / WIN / UNIX / +

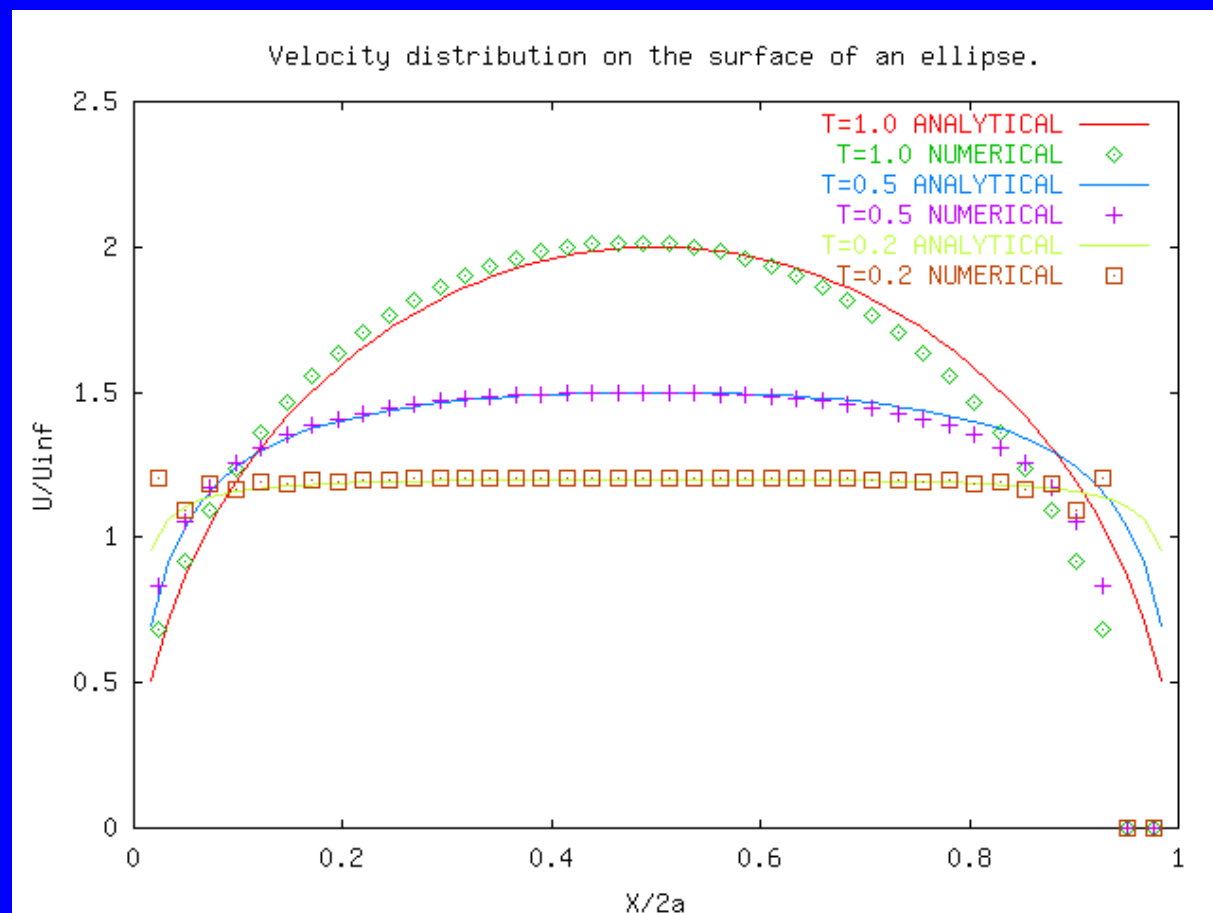
8. ΑΝΕΞΑΡΤΗΣΙΑ ΛΥΣΗΣ ΑΠΟ ΑΡΙΘΜΗΤΙΚΕΣ ΠΑΡΑΜΕΤΡΟΥΣ

ΑΡΙΘΜΗΤΙΚΕΣ ΠΑΡΑΜΕΤΡΟΙ: πλήθος N σημειακών πηγών



9. ΠΑΡΑΜΕΤΡΙΚΗ ΔΙΕΡΕΥΝΗΣΗ

ΠΑΡΑΜΕΤΡΟΙ: τ λόγος κυρίων αξόνων



10. ΚΡΙΤΙΚΗ ΑΞΙΟΛΟΓΗΣΗ - ΣΥΜΠΕΡΑΣΜΑΤΑ

- ΑΜΕΣΗ ΕΠΙΛΥΣΗ
- ΕΦΑΡΜΟΣΙΜΟΤΗΤΑ ΜΕΘΟΔΟΥ ΜΟΝΟ ΓΙΑ ΠΑΡΑΛΛΗΛΗ ΡΟΗ
- ΓΙΑ τ ΜΙΚΡΟ ΑΠΑΙΤΕΙΤΑΙ ΚΑΛΥΤΕΡΗ ΔΙΑΚΡΙΤΟΠΟΙΗΣΗ
- ΤΟ ΣΦΑΛΜΑ ΕΙΝΑΙ ΜΕΓΑΛΥΤΕΡΟ ΣΤΗΝ ΑΚΜΗ ΕΚΦΥΓΗΣ